

# Supersymétrie et collisionneurs hadroniques

- Analyses du RUN I au Tevatron avec conservation de  $R_P$
- Analyses du RUN I avec  $\not{R}_P$
- CMS et  $\not{R}_P$

# Analyses du RUN I avec $R_P$

hypothèses :

- modèles inspirés de mSUGRA
- LSP =  $\tilde{\chi}_1^0$  stable  $\Rightarrow \cancel{E}_T$

Analyses classiques :

1) Recherche de  $\tilde{q}$  et  $\tilde{g}$

- $\cancel{E}_T + n\text{-jet}$
- $\cancel{E}_T + n\text{-jet} + ll$  ( $\tilde{g} \rightarrow \tilde{\chi}_1^\pm X \rightarrow lX$ )

Collisionneurs hadroniques essentiellement sensibles à production de SUSY via QCD :  $\sigma_{\tilde{q}\bar{\tilde{q}}}$ ,  $\sigma_{\tilde{q}\tilde{q}}$ ,  $\sigma_{\tilde{g}\tilde{g}}$ ,  $\sigma_{\tilde{g}\tilde{q}}$

2) Recherche de  $\tilde{\chi}_1^\pm$ ,  $\tilde{\chi}_1^0$

- $\tilde{\chi}_1^\pm \tilde{\chi}_2^0 \rightarrow (\tilde{\chi}_1^0 l^\pm \nu)(\tilde{\chi}_1^0 l^+ l^-) \rightarrow 3l + \cancel{E}_T$

3) Recherche de  $\tilde{t}_1$  léger

- $t\bar{t} \rightarrow (\tilde{t}_1 \tilde{\chi}_1^0)(W^- \bar{b}) \rightarrow l jj bb \cancel{E}_T$
- $\tilde{t}_1 \tilde{\bar{t}}_1 \rightarrow (\tilde{\chi}_1^+ \bar{b})(\tilde{\chi}_1^- b) \rightarrow l jj bb \cancel{E}_T$

# Recherche de $\tilde{g}$ , $\tilde{q}$

$\tilde{g}\tilde{g}, \tilde{g}\tilde{q}, \tilde{q}\tilde{q} \rightarrow E_T + n\text{-jet}$

CDF :  $\int \mathcal{L} = 19 \text{ pb}^{-1}$

- $E_T > 60 \text{ GeV}$
- Au moins 3 jets avec  $E_T > 15 \text{ GeV}$
- Pas de leptons avec  $E_T > 10 \text{ GeV}$

$\tilde{g}\tilde{g}, \tilde{g}\tilde{q}, \tilde{q}\tilde{q} \rightarrow E_T + n\text{-jet} + ll$

CDF :  $\int \mathcal{L} = 81 \text{ pb}^{-1}$

- $E_T > 25 \text{ GeV}$
- 2 jets avec  $E_T > 15 \text{ GeV}$
- 2 leptons S.S. avec  $P_T(l_{1,2}) > 11, 5 \text{ GeV}$

$\tilde{g}\tilde{g}, \tilde{g}\tilde{q}, \tilde{q}\tilde{q} \rightarrow E_T + n\text{-jet}$

D0 :  $\int \mathcal{L} = 79 \text{ pb}^{-1}$

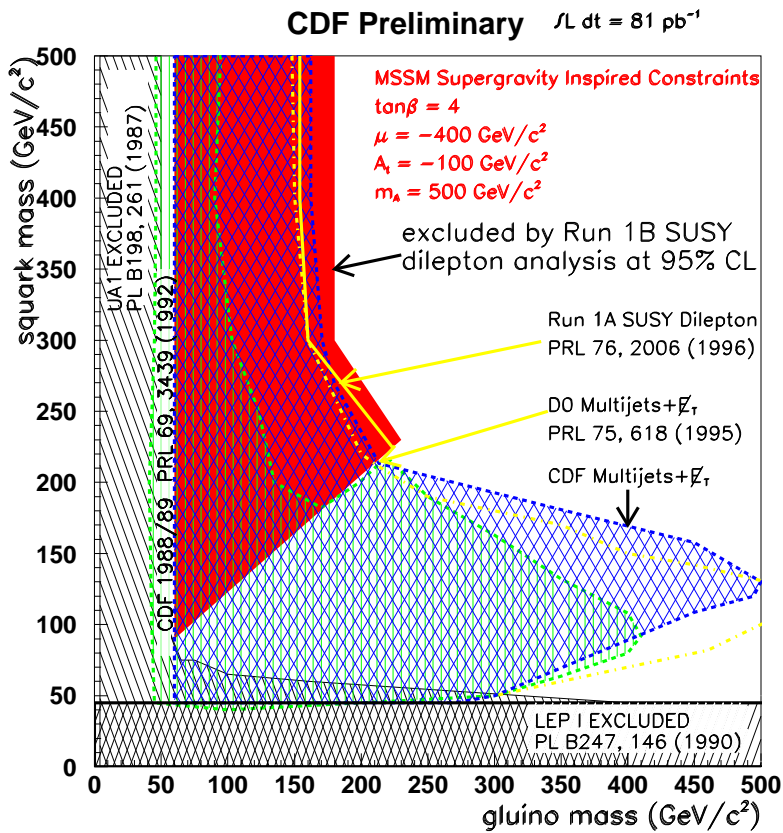
- $E_T > 50 \text{ GeV}$
- Au moins 3 jets avec  $E_T > 25 \text{ GeV}$   
dont 1  $> 115 \text{ GeV}$
- Pas de muon avec  $E_T > 15 \text{ GeV}$

$\tilde{g}\tilde{g}, \tilde{g}\tilde{q}, \tilde{q}\tilde{q} \rightarrow E_T + n\text{-jet} + ee$

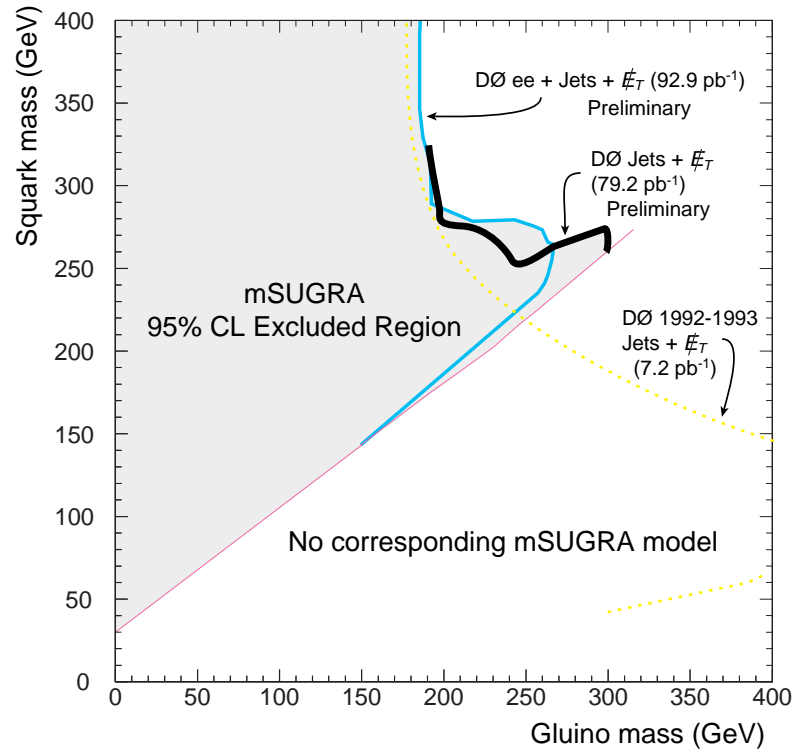
D0 :  $\int \mathcal{L} = 93 \text{ pb}^{-1}$

- $E_T > 25 \text{ GeV}$
- 2 jets avec  $E_T > 20 \text{ GeV}$
- 2 e avec  $E_T > 15 \text{ GeV}$

$\tilde{g}\tilde{g}, \tilde{g}\tilde{q}, \tilde{q}\tilde{q} \rightarrow \cancel{E}_T + n\text{-jet} + ll$



- $\cancel{E}_T + n\text{-jet}$
- $m_{\tilde{g}} > 173 \text{ GeV}/c^2 (\forall m_{\tilde{q}} > m_{\tilde{g}})$
- $m_{\tilde{g}} > 216 \text{ GeV}/c^2 (m_{\tilde{q}} = m_{\tilde{g}})$
- $\cancel{E}_T + n\text{-jet} + ll$
- $m_{\tilde{g}} > 180 \text{ GeV}/c^2 (\forall m_{\tilde{q}} > m_{\tilde{g}})$
- $m_{\tilde{g}} > 230 \text{ GeV}/c^2 (m_{\tilde{q}} = m_{\tilde{g}})$



$\cancel{E}_T + n\text{-jet}$

$m_{\tilde{g}} > 180 \text{ GeV}/c^2 (\forall m_{\tilde{q}} > m_{\tilde{g}})$

$m_{\tilde{g}} > 260 \text{ GeV}/c^2 (m_{\tilde{q}} = m_{\tilde{g}})$

$\cancel{E}_T + n\text{-jet} + ee$

$m_{\tilde{g}} > 180 \text{ GeV}/c^2 (\forall m_{\tilde{q}} > m_{\tilde{g}})$

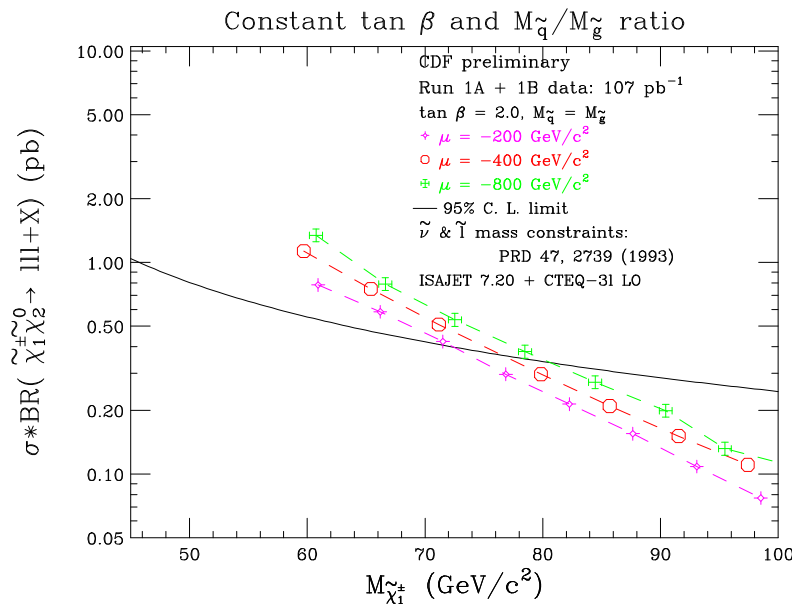
$m_{\tilde{g}} > 267 \text{ GeV}/c^2 (m_{\tilde{q}} = m_{\tilde{g}})$

# Recherche de $\tilde{\chi}_1^\pm$ , $\tilde{\chi}_1^0$

$$\tilde{\chi}_1^\pm \tilde{\chi}_2^0 \rightarrow E_T + 3\ l$$

CDF :  $\int \mathcal{L} = 107 \ pb^{-1}$

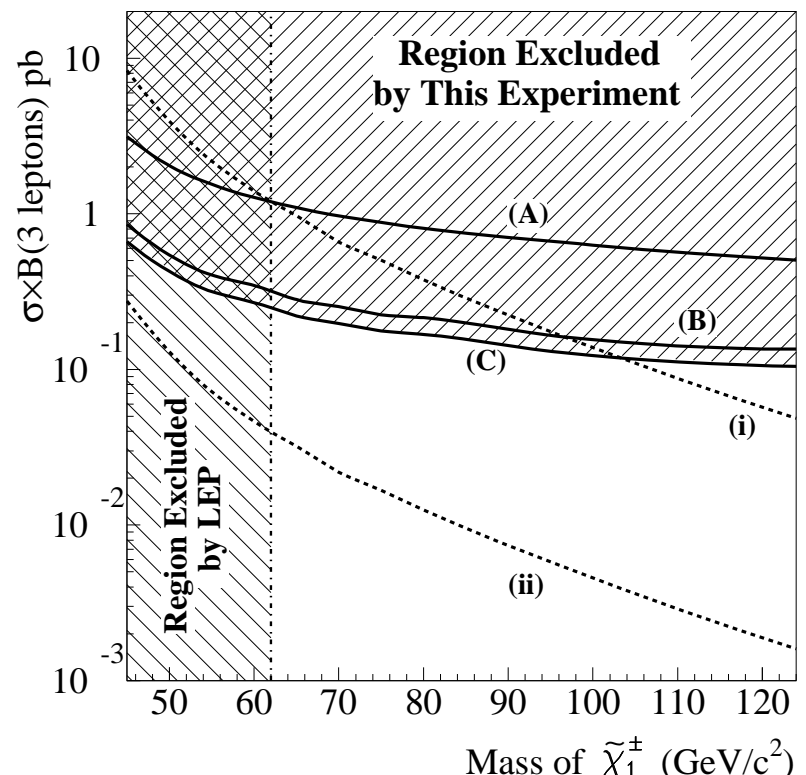
- $E_T > 15 \ GeV$
- 3 leptons avec  $P_T(l_{1,2,3}) > 11, 5, 5 \ GeV$



$$m_{\tilde{\chi}_1^\pm} \gtrsim 70 \ GeV/c^2$$

$$\tilde{\chi}_1^\pm \tilde{\chi}_2^0 \rightarrow E_T + 3\ l$$

D0 :  $\int \mathcal{L} = 93 \ pb^{-1}$



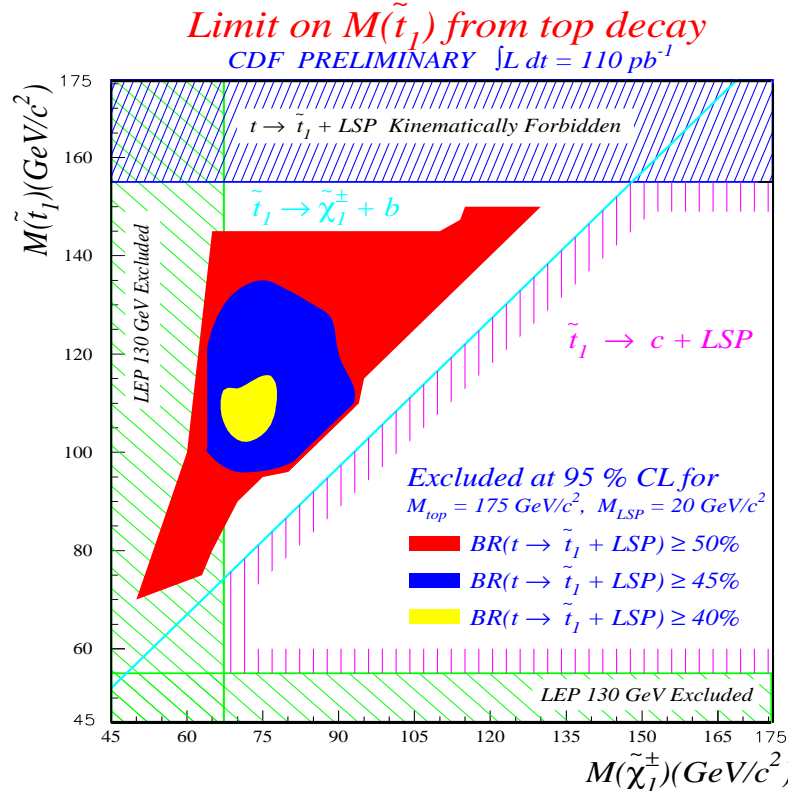
# Recherche de $\tilde{t}_1$ léger

$$t\bar{t} \rightarrow (\tilde{t}_1 \tilde{\chi}_1^0)(W^- \bar{b}) \rightarrow l jj bb \not{E}_T$$

$$\tilde{t}_1 \rightarrow \tilde{\chi}_1^+ b \rightarrow jj \tilde{\chi}_1^0 b$$

$$\text{CDF : } \int \mathcal{L} = 110 \text{ pb}^{-1}$$

- coupures top  $+ \not{E}_T > 45 \text{ GeV}$



$$\tilde{t}_1 \bar{\tilde{t}}_1 \rightarrow (\tilde{\chi}_1^+ \bar{b})(\tilde{\chi}_1^- b)$$

CDF :  $\tilde{\chi}_1^+ \rightarrow l \nu \tilde{\chi}_1^0$ ,  $\tilde{\chi}_1^- \rightarrow jj \tilde{\chi}_1^0 \Rightarrow l jj bb \not{E}_T$   
 $\int \mathcal{L} = 90 \text{ pb}^{-1}$

D0 :  $\tilde{\chi}_1^\pm \rightarrow e^\pm \nu \tilde{\chi}_1^0 \Rightarrow ee jj \not{E}_T \int \mathcal{L} = 75 \text{ pb}^{-1}$   
 Limite au delà des prévisions théoriques

## Analyses du RUN I avec $R_P$

hypothèses :

Motivation liée aux événements d'Hera

Terme étudié :  $\lambda'_{121}$

Analyses :

- $\tilde{g}\tilde{g} \rightarrow (\tilde{c}_L\bar{c})(\tilde{c}_L\bar{c}) \xrightarrow{\lambda'_{121}} (e^+d\bar{c})(e^+d\bar{c})$
- $\tilde{c}_L\bar{c}_L \rightarrow (c\tilde{\chi}_1^0)(\bar{c}\tilde{\chi}_1^0) \xrightarrow{\lambda'_{121}} (cq\bar{q}'e^\pm)(\bar{c}q\bar{q}'e^\pm)$

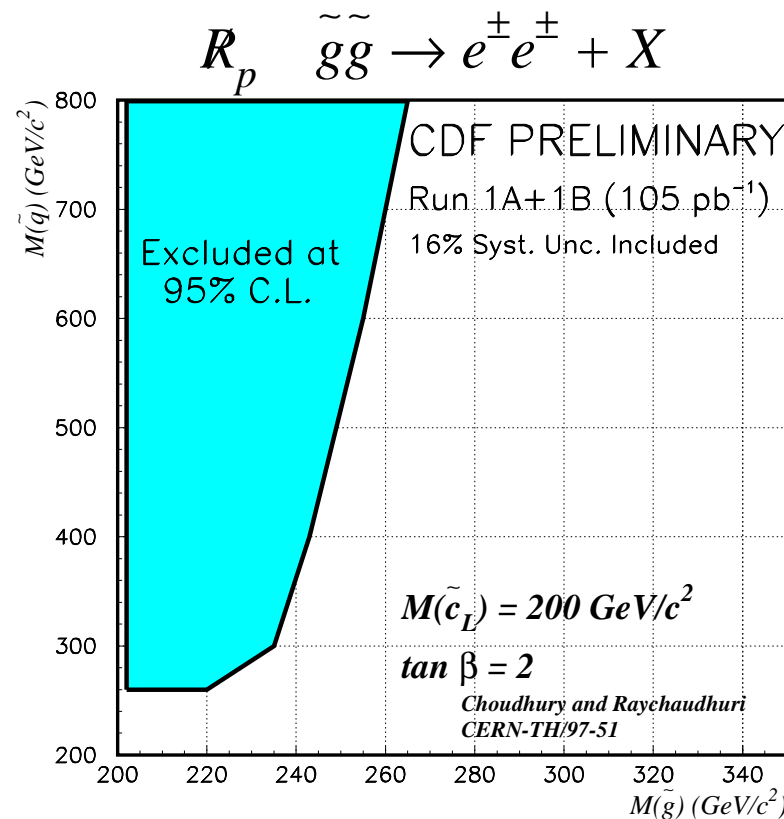
$$\tilde{g}\tilde{g} \rightarrow (\tilde{c}_L \bar{c})(\tilde{c}_L \bar{c}) \xrightarrow{\lambda'_{121}} (e^+ d \bar{c})(e^+ d \bar{c})$$

CDF :  $\int \mathcal{L} = 105 \text{ pb}^{-1}$

Signature :  $ee + \geq 2 \text{ jets}$

$E_T(e, j) > 15 \text{ GeV}$

Limit :  $\sigma.BR(\tilde{g}\tilde{g} \rightarrow e^\pm e^\pm X) < 0.2 \text{ pb}$

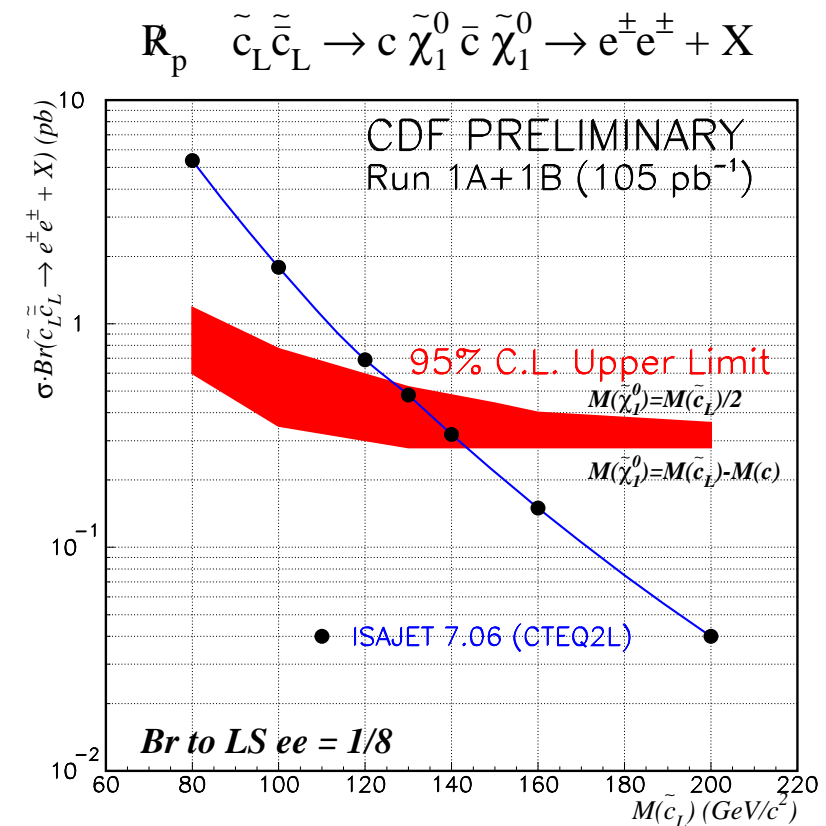


$$\tilde{c}_L \tilde{c}_L^- \rightarrow (c\tilde{\chi}_1^0)(\bar{c}\tilde{\chi}_1^0) \xrightarrow{\lambda'_{121}} (cq\bar{q}' e^\pm)(\bar{c}q\bar{q}' e^\pm)$$

CDF :  $\int \mathcal{L} = 105 \text{ pb}^{-1}$

Signature :  $ee + \geq 2 \text{ jets}$

Limit :  $\sigma.BR(\tilde{c}_L \tilde{c}_L^- \rightarrow e^\pm e^\pm X) < 0.3 \text{ pb}$



hypothèses :

- cadre mSUGRA
- couplages  $R_P \ll$  couplages de jauge  $\Rightarrow \sigma$  et  $BR$  non modifiés
- $R_P$  via 1 seul  $\lambda$

Pour l'instant, étude de  $R_P$  via termes leptoniques :  $\lambda_{ijk}$   
 $\Rightarrow \tilde{\chi}_1^0 \rightarrow 1 \text{ ou } 2 \text{ } l$

$\lambda_{ijk}$	Decay channel	Fraction of leptons			Mean number of	
		$0l$	$1l$	$2l$	$< l >$	$< \nu >$
121	$e^- \nu_\mu e^+, \nu_e \mu^- e^+$	0%	0%	100%	2.0	1.0
122	$e^- \nu_\mu \mu^+, \nu_e \mu^- \mu^+$	0%	0%	100%	2.0	1.0
123	$e^- \nu_\mu \tau^+, \nu_e \mu^- \tau^+$	0%	65%	35%	1.3	2.3
131	$e^- \nu_\tau e^+, \nu_e \tau^- e^+$	0%	32.5%	67.5%	1.7	1.7
132	$e^- \nu_\tau \mu^+, \nu_e \tau^- \mu^+$	0%	32.5%	67.5%	1.7	1.7
133	$e^- \nu_\tau \tau^+, \nu_e \tau^- \tau^+$	21.1%	55.3%	23.6%	1.0	3.0
231	$\mu^- \nu_\tau e^+, \nu_\mu \tau^- e^+$	0%	32.5%	67.5%	1.7	1.7
232	$\mu^- \nu_\tau \mu^+, \nu_\mu \tau^- \mu^+$	0%	32.5%	67.5%	1.7	1.7
233	$\mu^- \nu_\tau \tau^+, \nu_\mu \tau^- \tau^+$	21.1%	55.3%	23.6%	1.0	3.0

$$(l = e, \mu, BR(\tau \rightarrow e \bar{\nu}_e \nu_\tau) = BR(\tau \rightarrow \mu \bar{\nu}_\mu \nu_\tau) = 17.5\%)$$

$\Rightarrow$  de 2 à 4  $l$  supplémentaires par événement

Stratégie :

- recherche d'au moins 2  $l$  isolés : O.S. ou S.S.
- étude de  $\lambda_{121}$  (cas optimiste) et  $\lambda_{133}$  (cas pessimiste)
- ne pas utiliser la saveur du  $l$  ( $e, \mu$ )  $\Rightarrow$  analyse plus générale

Générateur :

SPYTHIA+adaptation pour autoriser decay du  $\tilde{\chi}_1^0$

$$\tilde{\chi}_1^0 \xrightarrow{\lambda_{ijk}} \left\{ \begin{array}{l} \bar{\nu}_i e_j^+ e_k^- \\ e_i^+ \bar{\nu}_j e_k^- \\ \nu_i e_j^- e_k^+ \\ e_i^- \nu_j e_k^+ \end{array} \right.$$

$BR = 25\%$  si masse des  $\tilde{l}$  dégénérée.

Coupures :

- 2  $l$  isolés,  $P_T > 10 \text{ GeV}$ ,  $|\eta| < 2.6$ ,  $m_Z$  rejetée
- au moins 2 jets  $P_T > 40 \text{ GeV}$

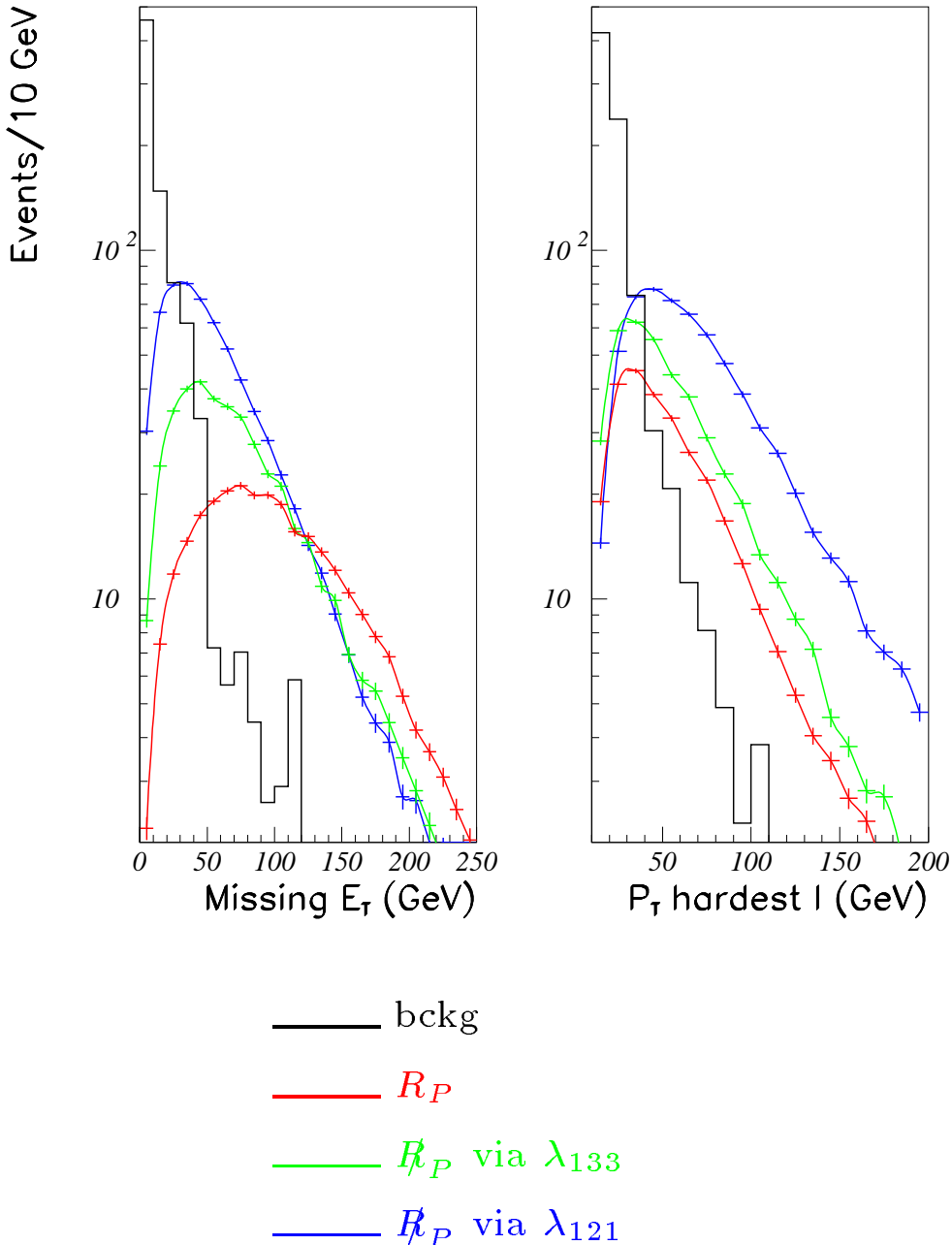
background :

$t\bar{t}$ ,  $W, Z + \text{jet}$  (parton showering),  $WW, WZ, ZZ + \text{jet}$ , QCD  
 $\Rightarrow$  généré par bin de  $\hat{P}_T$  avec SPYTHIA

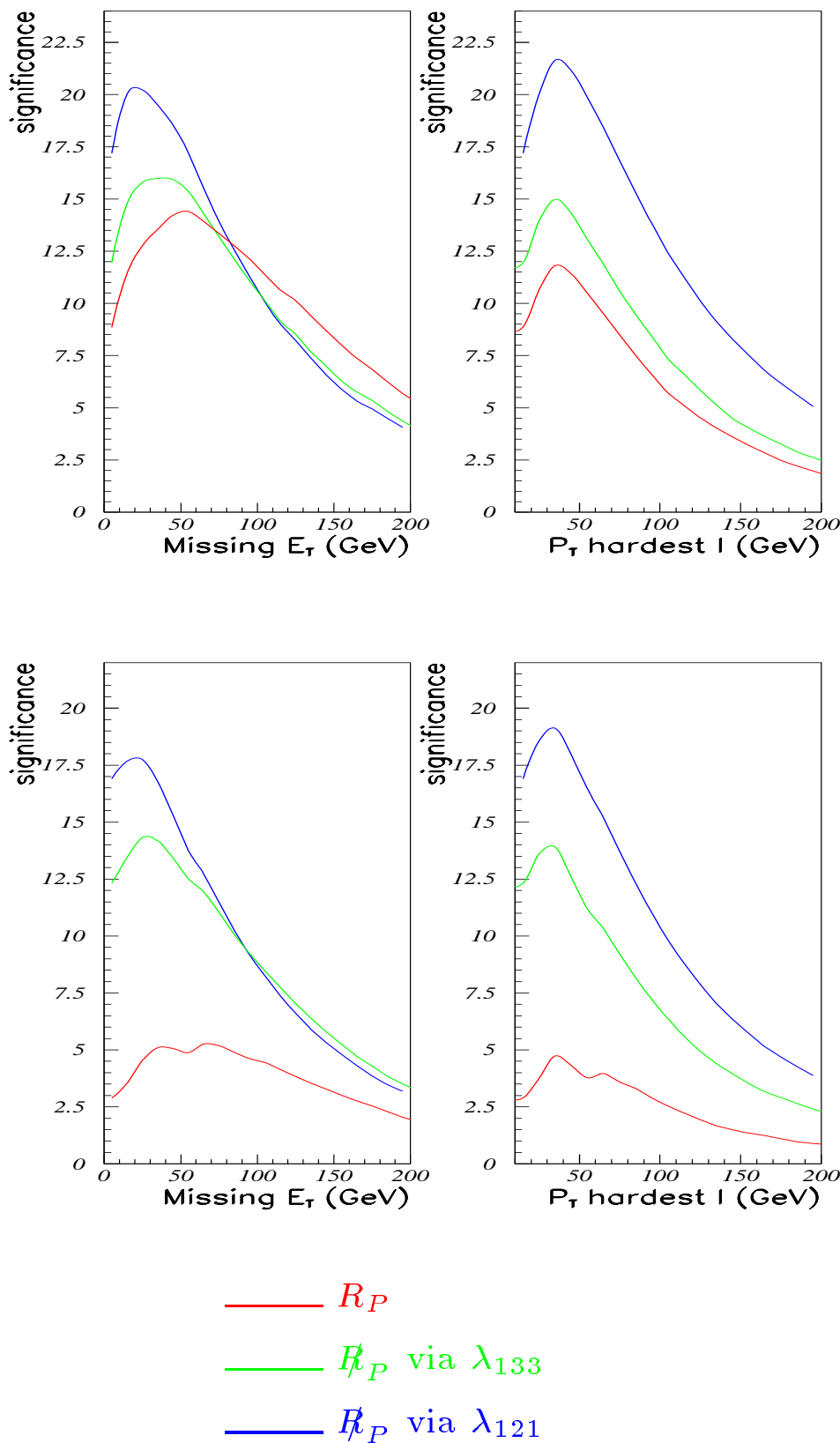
# Exemple 1 : $m_0 = 200, m_{1/2} = 100, A_0 = 0, \tan \beta = 2, \mu < 0$

- masses :  $m_{\tilde{g}} = 291, m_{\tilde{q}} = 310, m_{\tilde{\chi}_1^0} = 45 \text{ GeV}/c^2$
- section efficace :  $\sigma = 1349 \text{ pb}$
- decays :  $\tilde{g} \xrightarrow{86\%} \tilde{b}_1 \bar{b}, \tilde{b}_1 \xrightarrow{\approx 100\%} \tilde{\chi}_2^0 b, \tilde{\chi}_2^0 \xrightarrow{51\%} \tilde{\chi}_1^0 l^+ l^-$

$$\int \mathcal{L} = 1 \text{ pb}^{-1}$$



significativité pour  $\int \mathcal{L} = 1 \text{ pb}^{-1}$



$\Rightarrow$  détection facile avec ou sans  $R_P$

## Exemple 2 : $m_0 = 400, m_{1/2} = 400, A_0 = 0, \tan \beta = 2, \mu > 0$

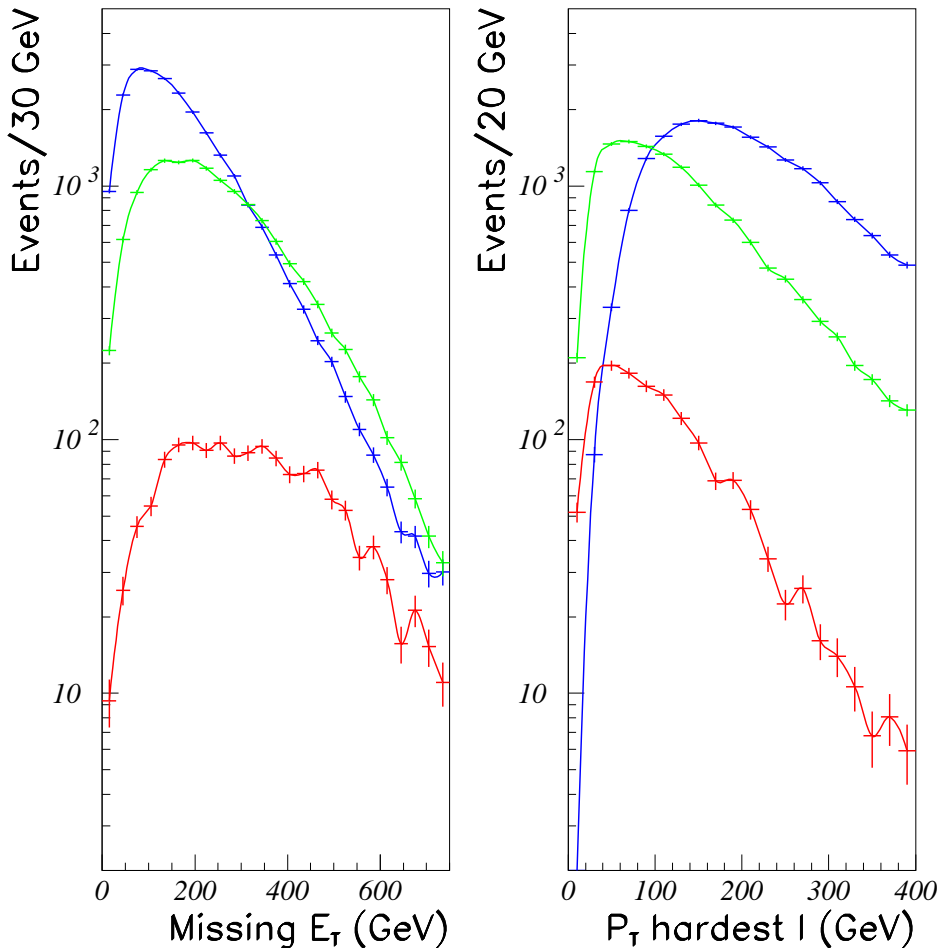
- masses :

$m_{\tilde{g}} = 963, m_{\tilde{q}} = 900$  ( $m_{\tilde{t}_1} = 544$ ),  $m_{\tilde{\chi}_1^0} = 162$  GeV/c<sup>2</sup>

- section efficace :  $\sigma = 3.1$  pb

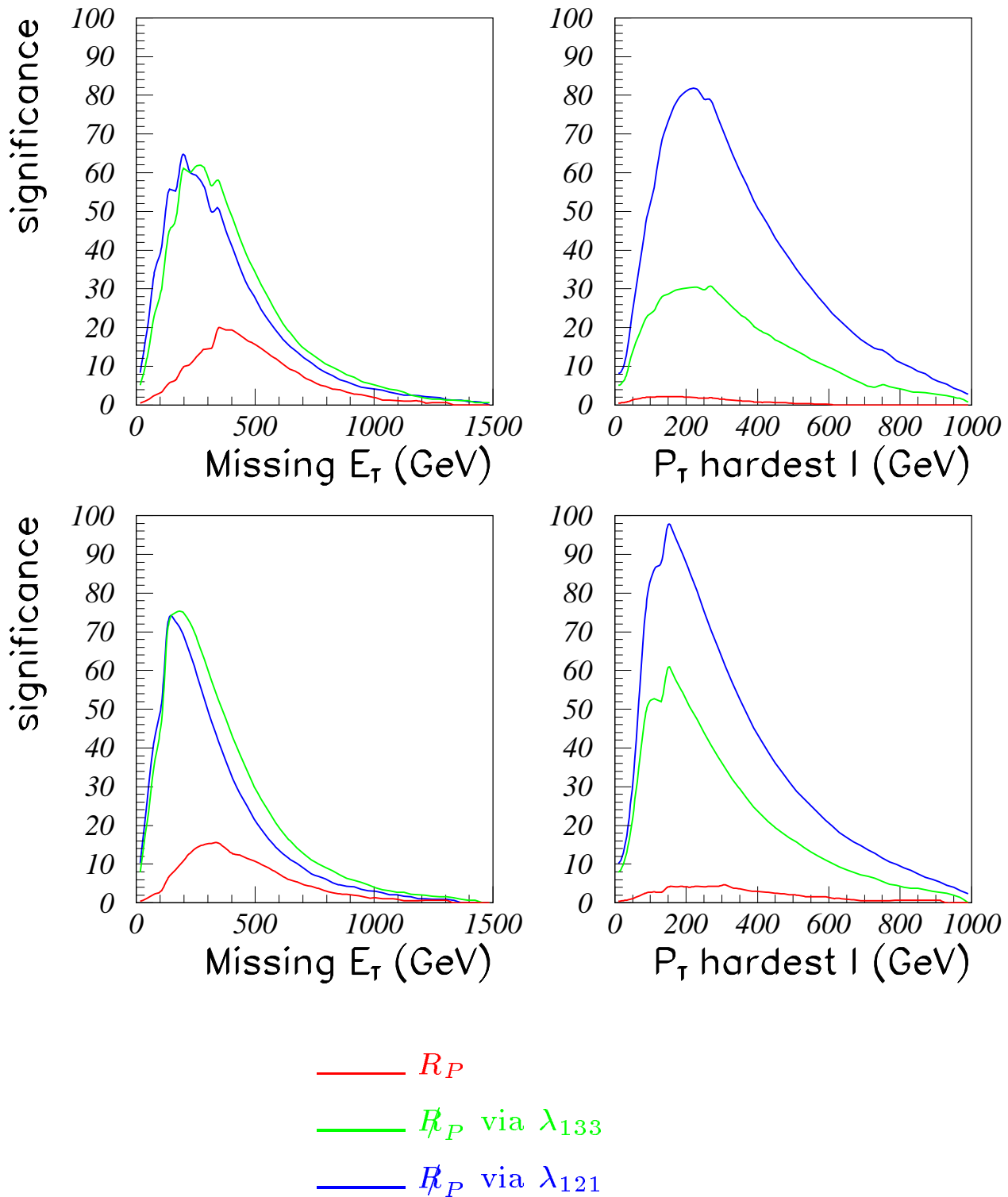
- decays :  $\tilde{g} \xrightarrow{47\%} \tilde{t}_1 \bar{t}$ ,  $\tilde{t}_1 \xrightarrow{73\%} \tilde{\chi}_1^0 t$  ( $t \rightarrow bW \rightarrow bl\nu$ )

$$\int \mathcal{L} = 10 \text{ fb}^{-1}$$



—	$R_P$
—	$R_P$ via $\lambda_{133}$
—	$R_P$ via $\lambda_{121}$

significativité pour  $\int \mathcal{L} = 10 \text{ fb}^{-1}$



## Conclusions

Run I du Tevatron a couvert une bonne partie des analyses SUSY classiques. Toute la stat n'a pas encore été analysée.

Recherche de SUSY avec  $R_P$  au Tevatron débute à peine.  
Résultats encore très préliminaires.

Potentiel de CMS semble intéressant mais terrain encore à defricher.